

## Metoda pro řešení kontaktní úlohy se třením vykazující malé relativní výchylky

Drahomír Rychecký<sup>1</sup>

### 1 Úvod

Účelem příspěvku je seznámit čtenáře s modelování dynamických kontaktních úloh se třením. Přístup je vhodný pro modelování kontaktů s malými relativními posuvy, což je v praxi hojně vyskytující se jev, např. u turbínových lopatek Míšek, Kubín (2009). Zmiňovaná metoda je dalším stádiem dříve prezentovaného postupu Rychecky (2013), kdy je kontaktní plocha rozdělena do  $n$  elementárních kontaktních plošek, pro než se problém kontaktu řeší jednotlivě. Oproti předchozímu přístupu došlo k nahradě kontaktní matice tuhosti, která zajišťovala provázání těles, vektorem nelineárních sil se stejnou funkcí. Zvolený postup je zcela odpovídající předchozímu a lze s ním dále snáze nakládat. Bylo tak dosaženo přístupu, který v porovnání s komerčním softwarovým programem (ANSYS) poskytuje srovnatelné výsledky za nesrovnatelně kratší čas.

### 2 Matematický model tělesa

V technické praxi je řešení kontaktních úloh vykazující malé relativní výchylky velice častý jev. Typickým zástupcem takové soustavy jsou olopatkované disky parních turbín. Z tohoto důvodu byla jako testovací úloha zvolena soustava dvou rovnoběžných lopatek. V používaném matematickém modelu nebyl uvažován vliv rotace. V uvedeném matematickém modelu (1) je pro úplnost uveden i vliv rotace. Lopatka byla modelována jako 1D kontinuum pomocí nosníkových prvků s diskretizovanou hmotou bandáže, viz např. Byrtus, Hajžman, Zeman (2010). Obecný matematický model uvažované soustavy má tvar

$$\mathbf{M}\ddot{\mathbf{q}}(t) + (\mathbf{B} + \omega\mathbf{G})\dot{\mathbf{q}}(t) + (\mathbf{K} - \omega^2\mathbf{K}_d + \omega^2\mathbf{K}_\omega)\mathbf{q}(t) = \omega^2\mathbf{f}_\omega + \mathbf{f}(t), \quad (1)$$

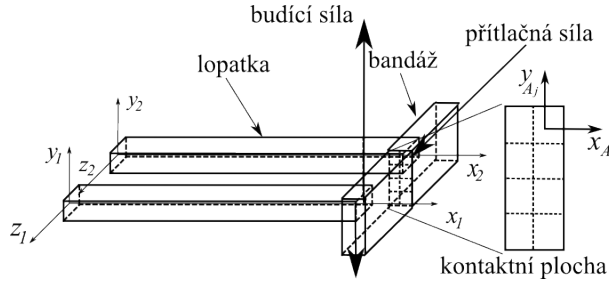
kde  $\mathbf{q}(t) = [\dots u_i, v_i, w_i, \varphi_i, \vartheta_i, \psi_i, \dots]^T$  je vektor zobecněných souřadnic,  $\mathbf{M}$ ,  $\mathbf{B}$ ,  $\mathbf{K}$  jsou matice hmotnosti, tlumení a tuhosti. Matice  $\omega\mathbf{G}$  zahrnuje gyroskopické účinky,  $\omega^2\mathbf{K}_d$  a  $\omega^2\mathbf{K}_\omega$  zavádí vliv změkčení a ztužení za rotace. Na pravé straně vystupuje vektor odstředivých sil  $\omega^2\mathbf{f}_\omega$  a  $\mathbf{f}$ , což je vektor vnějších sil zahrnující v sobě i nelineární kontaktní síly. Tlumení je uvažováno proporcionální  $\mathbf{B} = \beta\mathbf{K}$ .

Kontaktní plocha se nachází na bandáži, která je uvažována jako tuhé těleso, jehož pohyb je popsán zobecněnými souřadnicemi posledního uzlu diskretizované lopatky. Plocha kontaktu je rozdělena na  $n$  elementárních plošek. Polohu jednotlivých elementárních plošek lze určit ze zobecněných souřadnic posledního uzlu lopatky. Při znalosti polohy středu plošky, je možné určit průnik, respektive počet plošek v kontaktu. Jejich počet ovlivňuje celkovou tuhost kontaktu (viz Rivin (1999)), která se vypočítává pro každý krok. Vypočtené reakční síly (tj. normálové a tečné) je potřeba zpětnou transformací převést do souřadného systému posledního uzlu.

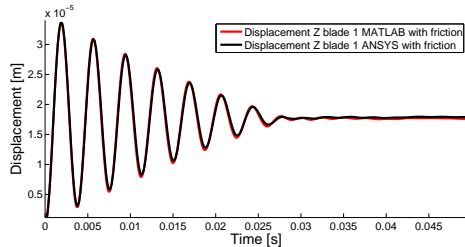
<sup>1</sup> student doktorského studijního programu Aplikované vědy a informatika, obor Aplikovaná mechanika, e-mail: rychecky@students.zcu.cz

### 3 Testovací příklad

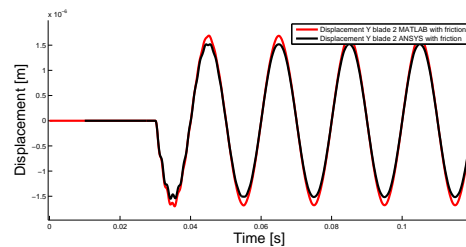
Soustava dvou lopatek (viz obr. 1) byla zatěžovaná přítlačnou silou 16 N, po utlumení přechodových kmitů v  $t = 0.03$  s, které jsou do značné míry závislé na volbě modelu tření, byla druhá lopatka natáčena dvojicí harmonických sil  $10\sin(2\pi f_b t)$ , kde  $t$  je čas simulace a  $f_b = 50$  Hz je zvolená budící frekvence. Cílem této úlohy bylo zvalidovat používaný postup. Neboť při výše popsaném zatěžování se nejen mění velikost kontaktní plochy, ale také celková zatěžovací síla a dochází k natáčení kontaktních ploch. Na obr. 2(a) a 2(b) je vidět dobrá shoda kontaktního modelu sestaveného v systému MATLAB a komerčního konečnoprvkového software ANSYS.



Obrázek 1: Soustava dvou lopatek s budícími silami



(a) Přechodové kmity buzené lopatky ve směru osy  $z$ .



(b) Přechodové kmity buzené lopatky ve směru osy  $y$ .

### 4 Závěr

Vyřešení dané problematiky umožňuje řešit kontaktní úlohy se třením, vykazující malé relativní posuvy. Popsaná metodika byla implementována v software MATLAB. Lze k ní připojit již dříve připravené modely tření.

#### Poděkování

Tato práce byla podpořena SGS-2010-046.

#### Literatura

- Byrtus, M., Hajžman, M., Zeman, V., 2010. *Dynamika rotujících soustav*, Západočeská univerzita v Plzni, Plzeň.
- Míšek, T., Kubín, Z., 2009. *Static and Dynamic Analysis of 1220 mm Steel Last Stage Blade for Steam Turbine*, Applied and Computational Mechanics, Vol. 3. pp 133–144.
- Rivin, E., 1999. *Stiffness and Damping in Mechanical Design*, CRC Press, Detroit.
- Rychecký, D., Hajžman, M., 2012. *Comparison of Two Approaches to the Modelling of Vibrating Bodies with Mutual Frictional Contact*, 14<sup>th</sup> International Conference Applied Mechanics, Plzeň.